肾损伤的影像学诊断及其评价

王家平 方克伟 阎东 袁曙光 李迎春 罗罡 普成荣 韩正林

【摘要】 目的:探讨肾损伤的有效影像诊断方法及其临床指导意义。方法:回顾性分析 CT 检查肾损伤 72 例的影像学资料,据 Sargent 分类法将肾损伤分为 4 类,其中 I 类 34 例, II 类 6 例, III类 30 例, IV类 2 例。此外, IV U 检查 37 例, B 超 41 例,肾动脉造影 24 例。结果: CT 对肾损伤的分类 及诊断准确率 100%。结论: CT 具有无 创、快速、安全、准确等优点,能准确确定肾损伤的程度、范围、分类,对临床治疗方案的选择有重要指导意义。

【关键词】 肾损伤 影像学 诊断 分类

【中图分类号】R445, R691.6 【文献标识码】A 【文章编号】10000313(2002)06-048-03

Imaging diagnosis of renal trauma WANG Jiaping, FANG Kewei, YAN Dong, et al. Department of Radiology, the Second Affiliated Hospital of Kunmin Medical College, Yunnan 650101

Methods: Imaging data of renal trauma were retrospectively analyzed, including 72cases of renal trauma diagnosed and classified into 4 grades by means of CT scans. According to Sargent classification, there were 34 cases of grade I , 6 cases of grade II, 30 cases of grade III, and 2 cases of grade IV. In addition, 37 cases of renal trauma were performed intravenous urography (IVU), 41 cases of ultrasound and 24 cases of renal arteriography. **Results:** The accuracy of diagnosis and classification with CT was 100%. **Conclusion:** CT scans can demonstrate accurately the degree, extent and classification of renal trauma, and be useful for clinical treatment planning.

[Key words] Kidney injury Imaging Diagnosis Classification

肾损伤在临床工作中并不少见, 及时明确有无肾损伤及损伤的程度和范围是临床治疗的关键。CT 对肾损伤的诊断价值很大, 能够满足上述要求, 对治疗方案的选择有重要指导意义。本文搜集我院 1990 年~ 2000 年经 CT 等影像学检查诊断的肾损伤 72 例, 报道如下。

材料与方法

本组 72 例, 男 51 例, 女 21 例, 年龄 12~69 岁, 平均年龄 43.2 岁。车祸伤 30 例, 坠跌伤 15 例, 打击伤 11 例, 刀刺伤 5 例。伤及左肾 38 例, 伤及右肾 31 例, 双肾 3 例。临床出现休克 15 例, 有肉眼血尿 52 例, 镜下血尿 17 例, 无血尿 3 例; 所有病例均有伤侧肾区疼痛和叩击痛。同时有腹部合并伤者 4 例。41 例行 B 超检查, 38 例发现有不同程度的肾损伤; 72 例均行 CT 检查, 其中 48 例行单纯扫描, 24 例平扫后加做增强扫描, 全部有阳性结果。37 例做静脉尿路造影(intravenous urography, IVU) 检查, 24 例做肾动脉造影, 所有病例均做超选择性肾动脉造影及栓塞治疗。追踪观察 17 例未发现高血压。

结 果

1. CT 诊断分类标准及结果

CT 诊断标准按 Sargent 分类, 分为 IV 类: I 类肾损伤(肾挫伤), CT 表现为伤肾增大, 可显示包膜下小血肿, 包膜完整。 II 类肾损伤(不涉及收集系统的轻微裂伤), 可有包膜破裂, 肾周血肿限于肾区腹膜后, CT 表现为包膜下或包膜外血肿, 肾实质

作者单位: 650101 昆明, 昆明医学院第二附属医院放射科 DSA 室作者简介: 王家平(1971~), 男, 云南腾冲人, 主治医师(讲师), 主要从事介入放射学研究工作。

裂伤或肾实质内血肿。 III类肾损伤(伴有或不伴有尿外渗的深度裂伤及碎裂伤),裂伤累及髓质,有或无尿外渗,CT 表现为肾实质中断或形态失常,肾内和/或肾周见大片密度不等的出血影,有或无对比剂外溢。 IV类肾损伤(涉及肾蒂的损伤),为肾蒂血管破裂或断裂,CT 表现多为主要位于肾与腹主动脉间的腹膜后血肿。如肾动脉主干断裂闭塞,则增强后肾实质和肾盂均无强化。

CT 检查结果: 本组 72 例均有阳性发现, 其中 I 类 34 例, 其中 27 例伤侧肾影较健侧增大, 23 例见包膜下小血肿, 16 例出现片状出血灶, 11 例做增强扫描,增强后见损伤区域边缘模糊, 呈略低密度或点状对比剂聚集。 II 类 6 例, 6 例均有肾实质裂伤, 4 例有包膜下血肿, 其中 1 例包膜破裂, 平扫条索状或片状高密 4 例, 2 例做增强扫描, 肾碎片均有强化。 III类 30 例, 均表现为肾实质破裂, 肾内和/或肾周见有不同的出血影, 12 例均表现肾实质内血肿, 11 例增强扫描后, 肾碎片有强化 7 例, 无强化 4 例, 3 例增强后见撕裂间隙和血凝块周围对比剂外渗, 11 例出现节段性梗死, 7 例出现肝包膜下血肿。 IV类 2 例, 均为肾蒂血管破裂, 同时发现脾破裂 1 例, 肝破裂 1 例。

2.B 超、IVU 及肾动脉造影结果

41 例 B 超检查, 38 例发现不同程度的肾实质裂伤、肾实质血肿、肾影增大及包膜下血肿或肾实质内血肿。37 例行 IV U 检查, 其中 9 例在肾损伤当天做 IVU, 有 8 例发现肾盂、肾盏受压。3 例见对比剂向肾实质外渗, 7 例显影不良, 14 例无明显异常, 5 例不显影。24 例行肾动脉造影并行选择性肾动脉栓塞治疗。栓塞前, 24 例动脉相主要表现为对比剂外溢, 破裂处对比剂成团, 对比剂即刻充盈肾盂肾盏, 肾轮廓影增大、缺损。找到

事介入放射学研究工作。 ◎ 1994-2012 China Academic Journal Electronic Publishing House. All rights reserved. Intip://www.cnki.net

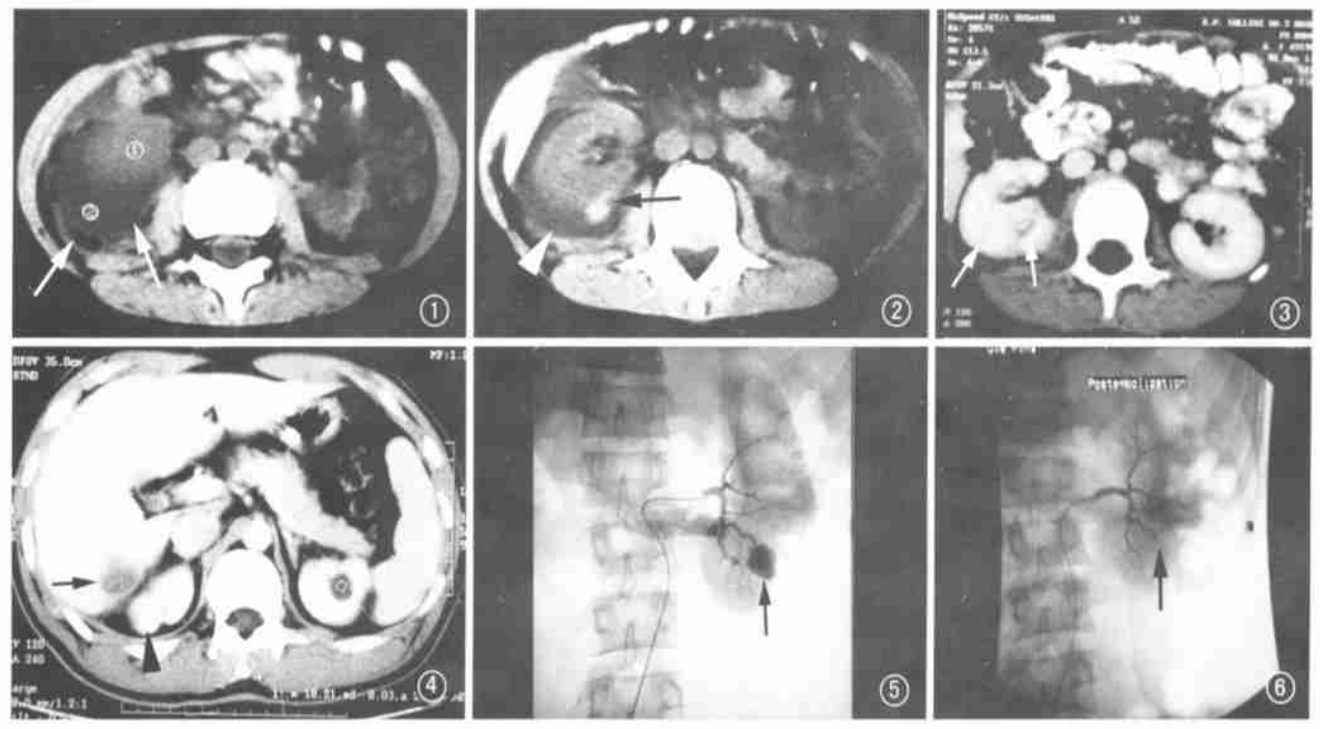


图 1 右肾损伤 CT 平扫右肾包膜下血肿,右肾影较对侧增大,肾内侧部可见节段性梗死灶(箭)。 图 2 右肾包膜下血肿(箭头),肾周可见片状出血灶(箭)。 图 3 右肾损伤 CT 增强后肾内碎片无明显强化说明该处无血供(箭)。 图 4 右肾损伤增强扫描见肝右后叶下段肝包膜下血肿其内无强化(箭),右肾挫伤部位内可见有强化说明有血供存在(箭头)。 图 5 左肾下极损伤,栓塞前肾动脉造影,左肾下极动脉分支对比剂外溢,破裂处见对比剂成团(箭)。 图 6 栓塞后造影,对比剂外溢停止(箭),出血动脉已完全闭塞,主干尚存。

讨论

1. 肾损伤的诊断

肾损伤约占腹部损伤 8% ~ 30%, 占泌尿系损伤第 2 位, 仅次于尿道损伤。76% ~ 80% 肾损伤属于闭合性损伤^[1]。凡有腰部外伤史并出现血尿者, 应考虑肾损伤的可能。一般根据病史、临床症状、体征、尿常规检查等, 大多可获急诊诊断。尤其血尿是肾损伤的主要症状, 有重要的诊断价值。但血尿程度与损伤程度并不一致, 不能单凭血尿程度来判断损伤程度, 因而对临床疑有肾损伤却无血尿者应特别予以重视。一旦疑有肾损伤, 即应辅以必要的检查, 以迅速、准确确定损伤的程度、范围、分类及有无合并伤, 为临床治疗方案的选择提供客观而准确的依据。

肾损伤常用的检查手段有 B 超、IVU、CT 和肾动脉造影等。B 超的组织分辨率较强,对伤肾的形态,特别是肾内、肾周血肿的观察较为理想,同时具有发现其他腹腔脏器损伤等优点^[1],适合外伤者的筛选检查诊断^[2];对于危重病人尚可做急诊床旁 B 超诊断。但 B 超不易判断肾盂、肾盏损伤的程度,不能对伤肾作出准确分类,也不能了解伤肾和健肾功能情况,这使得 B 超不能成为肾损伤的理想检查项目。

IVU 作为泌尿外科的传统经典检查项目,在新的影像学方法问世以前,一直是肾损伤的主要检查方法。但在肾损伤患者,IVU 常常表现为无明显异常或只是显影不良,且肾周情况也不能直接显示,仅在有肾盂、肾盏裂伤时,可见对比剂向肾实

质内甚至肾周外渗或肾盂、肾盏推移, IV U 不能准确地反映损伤程度和肾原有病变, 并且表现不具有特征性, 对急重病人不具有优越性。因而存在假阴性率, 即轻者不能显示病变, 严重者可不显影, 其诊断价值有限, 强调对 IV U 表现为对比剂外溢或不显影者需要进一步做 CT 等检查, 若生命体征不稳则需及时手术探查^[3]。至于肾动脉造影费时长、有一定创伤, 实际操作有一定困难, 临床应用价值不大, 但对拟行栓塞治疗者可以采用。

现今, CT 无疑是最准确和快速的检查方法, 其诊断准确性 为 100%^[1]。对肾损伤的检查首选 CT, 在平扫的同时加做增强 扫描,以便精确分类损伤的程度和类型。并且能良好显示肾损 伤的范围和基本病变特征(挫伤、撕脱、梗死、血肿和尿外渗)以 及肾功能的情况。CT平扫能反应肾损伤程度范围及出血情 况, 增强后若撕裂或间隙或血凝块周围见对比剂外渗即提示活 动性出血的 CT 特征, 增强后肾碎片有强化说明尚有血供, 若无 强化说明无血供。CT 具有无创、快速、安全等优点、对肾损伤 的分类明显优于 B 超 和 IVU, 对肾损伤的程度判断准确, 可确 定尿外渗及血肿范围,还可同时发现胸、腹及其他脏器损伤情 况; 若同时做增强扫描则有利于判断伤肾与健肾功能, 为临床 治疗方案的选择提供客观而翔实的信息。本组72例全部行 CT 检查,均有阳性发现,其定性诊断和分类准确率为 100%,这 说明 CT 检查对肾损伤诊断的准确性。CT 不仅对肾损伤的诊 断有很高的准确性,并对进行分型、分类,对临床手术治疗的选 择,提供了可靠的依据^[4]。为了解肾脏供血和肾动静脉情况. 需做增强扫描[5]。

shing House. All rights reserved. http://www.cnki.net

2. 肾损伤的治疗

有其他脏器合并伤、病情不稳定者,我们认为应积极手术治疗;单纯I、II类肾损伤者行正规保守治疗; IV类肾损伤者尽早手术,对于病情稳定的 III类肾损伤患者,应积极考虑行选择性肾动脉栓塞治疗,以争取良好的预后。

超选择性肾动脉栓塞术是治疗III类肾损伤的有效方法,具有如下优点:①可精确确定出血部位、判断损伤程度;②栓塞效果确切,血尿可立即停止;③改善全身情况,减少死亡率;④能最大限度地保护肾功能;⑤操作较简便,局麻下即可完成;⑥创伤小,可重复进行,避免手术风险;⑦栓塞后恢复快,住院时间短。

参考文献

- 1 郭俊渊. 现代腹部影像诊断学[M]. 北京: 科学出版社, 2001. 1189-1196.
- 2 Sarkisian AE, Khondkarian RA, Amirbehian NM, et al. Sonographic screening of mass casualties for abdominal and renal injuries following the American earthquake[J]. J Trauma, 1991, 31(3): 247-248.
- 3 Jansson AK, Pedensen J. Management of blunt renal trauma[J]. Br J Urol, 1993, 72(2): 692-695.
- 4 刘奉立. CT 的临床及其评价[M]. 天津: 天津科学技术出版 社, 1996. 166-168
- 5 Wolfman NT, Bechtold RE, Scharling ES, et al. Blunt upper abdominal trauma: evaluation CT[J]. AJR, 1992, 158(3):493-500.

(2001-11-22 收稿 2002-05-21 修回)

• 经验介绍•

食用加碘盐后正常人和甲亢患者甲状腺摄¹³¹ [率的变化

郑宏宾 许志强 徐尚福

【中图分类号】R817.8 【文献标识码】D 【文章编号】10000313(2002)06-0483-01

豫北地区是甲状腺疾病高发地区之一, 我院从二十世纪七十年代初开展了甲状腺摄^[31] I 率检测工作, 截止目前共做此项检查近 2万例。在工作实践中我们注意到, 摄^[31] I 率值在判定甲状腺疾病方面有较高的临床价值, 随着全国普及食用加碘盐后, 对其影响进行了初步统计分析。

材料与方法 我们将资料分成加碘盐前正常组与加碘盐 后正常组;加碘盐前甲状腺机能亢进(简称:甲亢)组与加碘盐 后甲亢组,并分别进行了比较。

加碘盐前正常组: 采用了我院 1978年 170 例正常人统计标准(表1)。

加碘盐后正常组选择: 近 2 个月内未 食过影响 食品及 药物 (不除外正常生活食用加碘盐), 无甲状腺 疾病的自愿参加 者及 体检人员 122 例。

表 1 加碘盐前、后正常组甲状腺摄 131 I 率

级别	抽样病例	3h 摄 ¹³¹ I率	24h 摄 ¹³¹ I 率	男 女
加碘盐前	170	19. 40 ± 4. 07	44.80±6.04	1: 4.96
加碘盐后	122	11. 96 ± 3.71	30.28 ± 5.73	1: 5.08
P 值		< 0.01	< 0.01	

加碘盐前甲亢组选择: 随机抽样, 抽出加碘盐前我院临床确诊的甲亢患者 164 例(表 2), 这些病例在做甲状腺摄¹³¹ I 率检查前, 均严格排除了影响摄¹³¹ I 率的各种影响因素及药物。

加碘盐后甲亢组选择了 125 例,除未排除碘盐影响外,其他同加碘盐前甲亢组。

以上全部病例均常规空腹口服 2¹4Ci 放射性¹³¹ I 后,测定甲状腺部位 3h 和 24h 的摄¹³¹ I 百分率;同时检测患者血清中的

TT₃、TT₄、FT₃、FT₄及TSH。统计结果见表 1和表 2。

表 2 加碘盐前、后甲亢组甲状腺摄 131 [率

级别	抽样病例	3h 摄 ¹³¹ I 率	24h 摄 ¹³¹ I 率	宪 女
加碘盐前甲亢组	164	31. 84 ± 5 . 06	54.62±9.17	1: 5.08
加碘盐后甲亢组	125	19. 82 ± 6.04	45.13 ± 8.57	1: 5.14
P 值		< 0.01	< 0.01	

讨论 日常生活中,成人一般日服盐量 10g。 目前,加碘食用盐含量为 40mg/kg,每 10g 碘盐中含 $0.4mg(400^{4}g)$ 碘酸钾,加之碘盐在烹饪过程中的损耗,则每日从盐中摄取的碘约为 $200~300^{4}g$,成人日需碘量 $100~150^{4}g^{[1]}$,在临床工作中我们注意到,广泛使用碘盐是影响甲状腺摄 131 I 率的重要因素。以上统计结果表明:①加碘盐后正常组较加碘盐前正常组摄 131 I 率明显偏低,差异具有极显著性意义(P<0.01);②加碘盐后甲亢组的摄 131 I 率亦明显低于加碘盐前甲亢组,相比差异有显著性意义(P<0.01);③加碘盐前甲亢组,男女比例基本相似;④加碘盐前甲亢组 3h、24h 摄 131 I 率比值与加碘盐后甲亢组相比亦无明显差异。

以上资料结果表明,在广泛普及应用碘盐后,甲状腺摄¹³¹ I 率正常组、甲亢组均明显降低,但 3h 与 24h 摄¹³¹ I 率比值无明显差异,尤其是甲亢患者,大部分仍存在较前摄¹³¹ I 率偏低基础上的高峰前移,3h/24h 比值仍增高(与普及碘盐前相似),甲亢在男女比例无明显改变。因此,临床医师对甲状腺疾病检查诊断时,不能将思想停留在以往水平上。

(注: 1^{LL}Ci= 37kBg)

参考文献

1 薜耀明. 甲状腺疾病的诊断与治疗[M]. 北京: 人民军医出版社, 1995. 12-13.

(2002-04-08 收稿 2002-05-04 修回)

作者单位: 455000 河南, 安阳地区医院核医学科作者简介: 郑宏宾(1967~), 男, 河南安阳人, 主治医师, 主要从事甲状腺疾病的诊断和治疗。

^{© 1994-2012} China Academic Journal Electronic Publishing House. All rights reserved. http://www.cnki.net